



БИООРГАНИЧЕСКАЯ ХИМИЯ

том 4 * № 9 * 1978

УДК 547.963.32.07 + 542.953.2

СИНТЕЗ ОЛИГО- И ПОЛИНУКЛЕОТИДОВ

ХХI. ХИМИЧЕСКИЙ СИНТЕЗ ДВУХ ДОДЕКАНУКЛЕОТИДОВ,
КОМПЛЕМЕНТАРНЫХ 5'-КОНЦЕВОМУ УЧАСТКУ 16S-рРНК *E. coli**

Берлин Ю. А., Виноградов С. В., Колосов М. Н.

Институт биоорганической химии им. М. М. Шемякина
Академии наук СССР, Москва

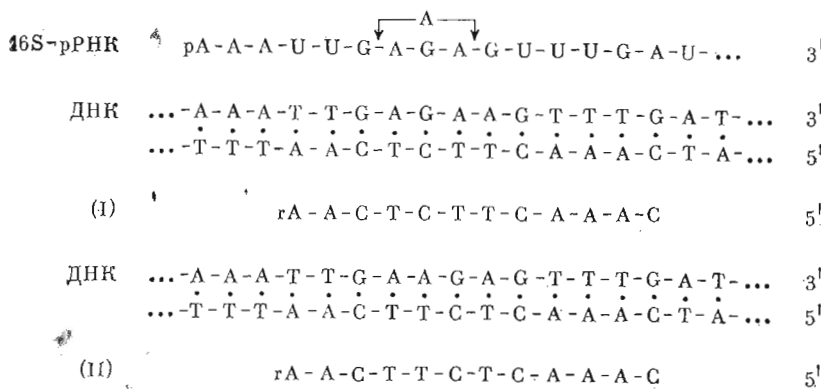
Осуществлен химический синтез додекануклеотидов d(C-A-A-C-T-T-C-T-C-A)-rA и d(C-A-A-C-T-C-T-C-T-C-A)-rA, комплементарных 5'-концевому участку 4—15 16S-рРНК *E. coli*, и их структура доказана с помощью нуклеотидных карт. Синтезированные олигонуклеотиды образуют специфические комплексы с 16S-рРНК *E. coli* и могут быть использованы в качестве праймеров при изучении первичной структуры участков бактериального генома.

Структура рибосомных оперонов *E. coli* представляет значительный интерес в рамках развития представлений о механизме транскрипции у прокариот. Известно, что каждая из нескольких транскрипционных единиц этого генома, кодирующих рибосомные РНК, содержит по одному структурному гену соответствующей РНК (в последовательности 16S, 23S и 5S), которые разделены спайсерными участками [2]. Для изучения первичной структуры этих участков бактериального генома, а также участка, предшествующего структурному гену 16S-рРНК и, вероятно, участку, предшествующему в инициации транскрипции оперона рРНК, мы предприняли синтез ряда олигонуклеотидов, комплементарных 5'-концевым сегментам рибосомных РНК и, следовательно, соответствующих смысловым последовательностям ДНК. В данной работе описан химический синтез двух додекануклеотидов (I) и (II), комплементарных 5'-концевому сегменту 4—15 16S-рРНК *E. coli* и содержащих 3'-концевое рибо-звено (см. схему 1); гетерогенность этой РНК [3], по-видимому, отражает наличие нескольких природных последовательностей, синтезируемых различными оперонами.

Синтез додекануклеотидов (I) и (II) был осуществлен фосфодиэфирным методом с использованием традиционных защитных групп и конденсирующих реагентов (см. обзор [4]), исходя из 5'-О-монометокситритил-N-анизоилдезоксицитидина в качестве 5'-концевого звена; нуклеотидную цепь наращивали сначала мононуклеотидами (до стадии тетрануклеотида), а затем последовательно ди- и тетрануклеотидными блоками (см. схему 2). 5'-Концевой тетрануклеотид (V) был синтезирован не только ступенчатым

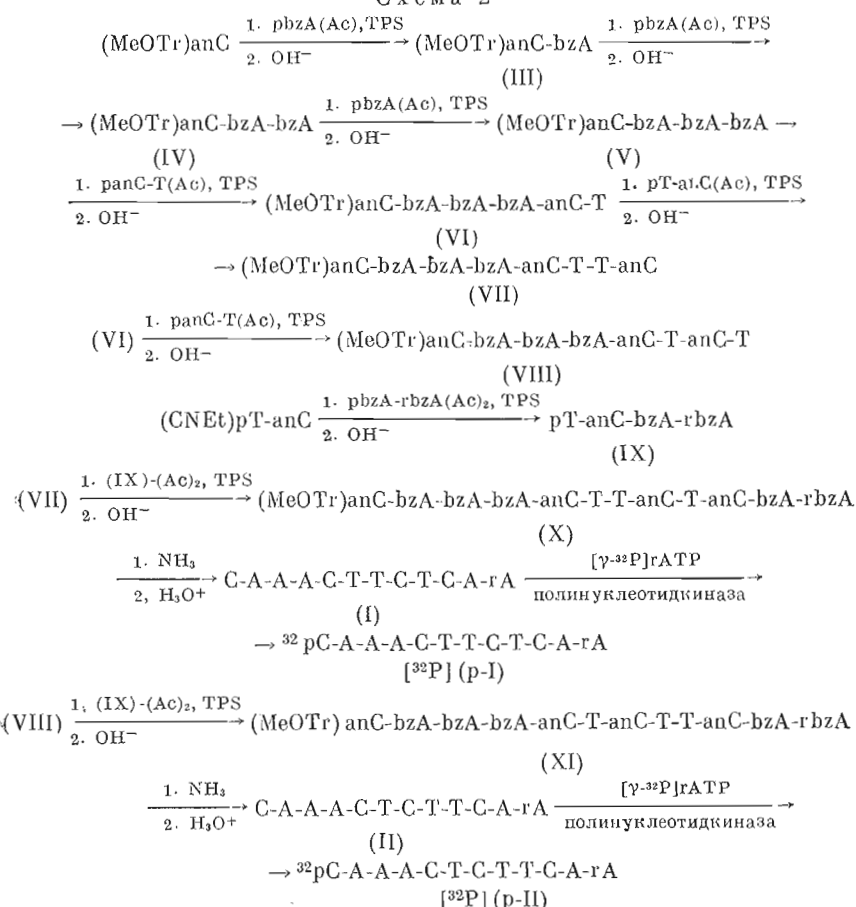
* Сообщение XX см. [1]. В синтезе, за исключением 3'-концевой рибоадениловой кислоты, использовались только дезоксирибонуклеотиды, поэтому префикс d перед формулами олигонуклеотидов опущен. Нестандартные сокращения: TPS — 2,4,6-триизопропилбензольсульфохлорид; TEAB — бикарбонат триэтиламмония.

Схема 1



наращиванием цепи с экстракционным выделением продуктов конденсации на каждой стадии (ср. [5]), но и одностадийной сополиконденсацией (MeOTr)anC, pbzA и pbzA(Ac) (ср. [6]). После экстракции тетрануклеотид (V) дополнительно очищали анионообменной хроматографией на DEAE-целлюлозе. Гексануклеотид (VI), октануклеотиды (VII) и (VIII) и додекануклеотиды (X) и (XI) выделяли двухстадийной хроматографией в TEAB—сначала в водном растворе для удаления нетритилированных нуклеотидов, а затем в 50% спирте для разделения тритильсодержащих нуклеотидов, а затем в 50% спирте для разделения тритильсодержащих нуклеотидов,

Схема 2



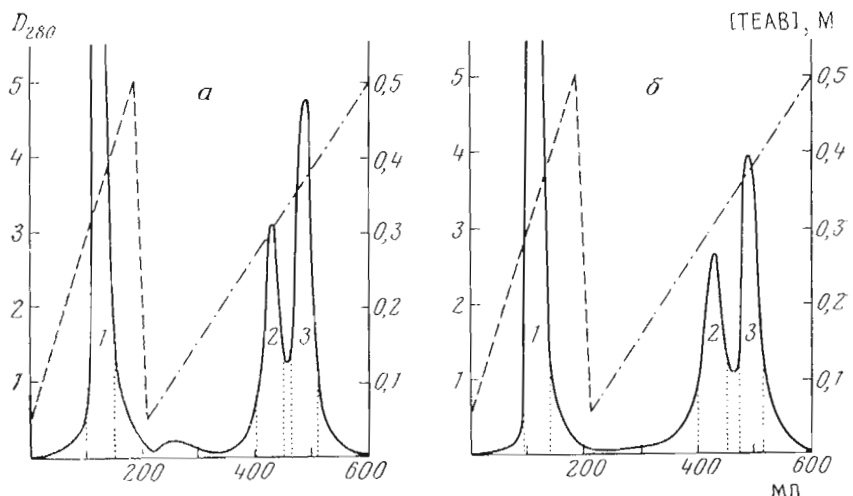


Рис. 1. Выделение защищенных додекануклеотидов (X) и (XI) хроматографией на колонке с DEAE-целлюлозой (HCO_3^- , $1,5 \times 17$ см) в градиенте концентрации ТЕАВ в воде (пунктир) и в 50% спирте (штрихпунктир). *а* — пик I содержит 656 ОЕ₂₈₀ тетрануклеотида (IX), пик 2—132 ОЕ₂₈₀ октануклеотида (VII), пик 3 — 226 ОЕ₂₈₀ доде-кануклеотида (X); *б* — пик I содержит 647 ОЕ₂₈₀ тетрануклеотида (IX), пик 2 — 122 ОЕ₂₈₀ октануклеотида (VIII), пик 3 — 196 ОЕ₂₈₀ доде-кануклеотида (XI)

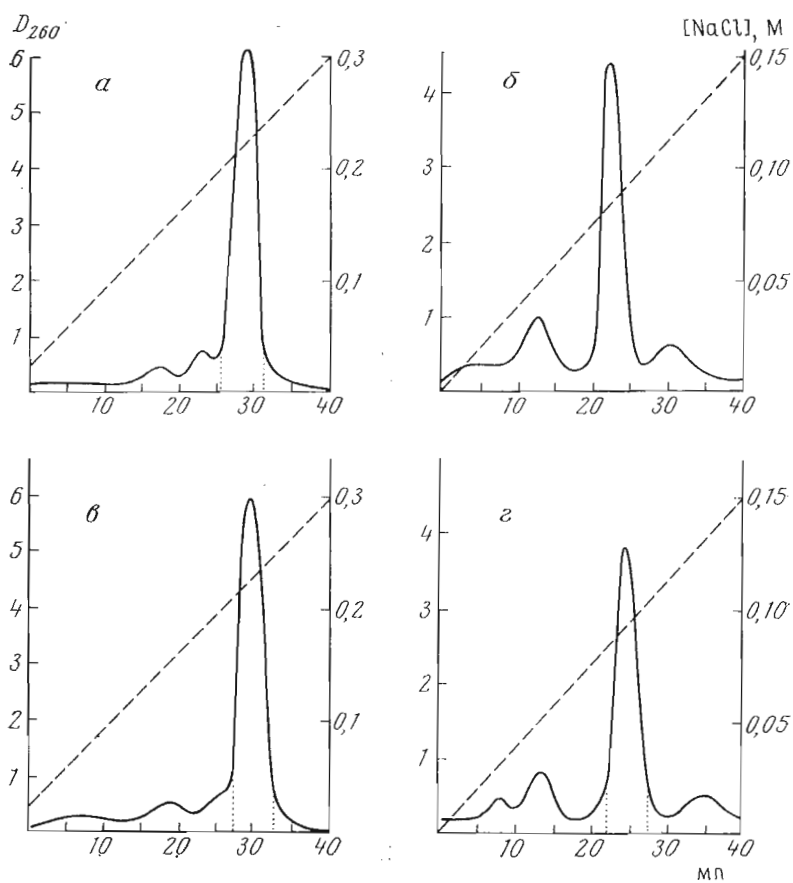


Рис. 2. Выделение незащищенных додекануклеотидов (I) и (II) хроматографией на колонке с DEAE-целлюлозой (Cl^- , $0,4 \times 12$ см) в линейном градиенте концентрации NaCl в 7 М мочевине, сначала в нейтральном, а затем в кислом растворе. *а* — 0,02 М три- HCl , pH 7,5, основной пик содержит 20,6 ОЕ₂₆₀ (I); *б* — HCl (pH 3,5), 11,8 ОЕ₂₆₀ (I); *в* — 0,02 М три- HCl (pH 7,5), 18,5 ОЕ₂₆₀ (II); *г* — HCl (pH 3,5), 10,3 ОЕ₂₆₀ (II)

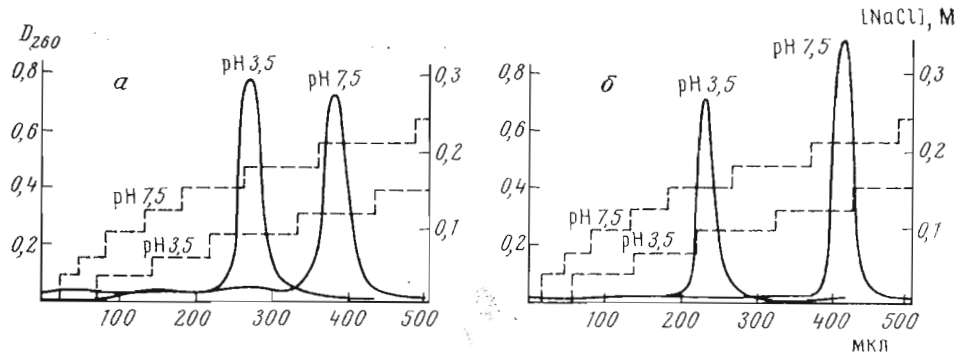


Рис. 3. Микроколоночная хроматография на DEAE-целлюлозе (Cl^- , объем 25 мкг) в ступенчатом градиенте концентрации NaCl в 7 М мочевине в 0,02 М трис- HCl , рН 7,5, или в HCl , рН 3,5. *а* — додекануклеотид (I), *б* — додекануклеотид (II)

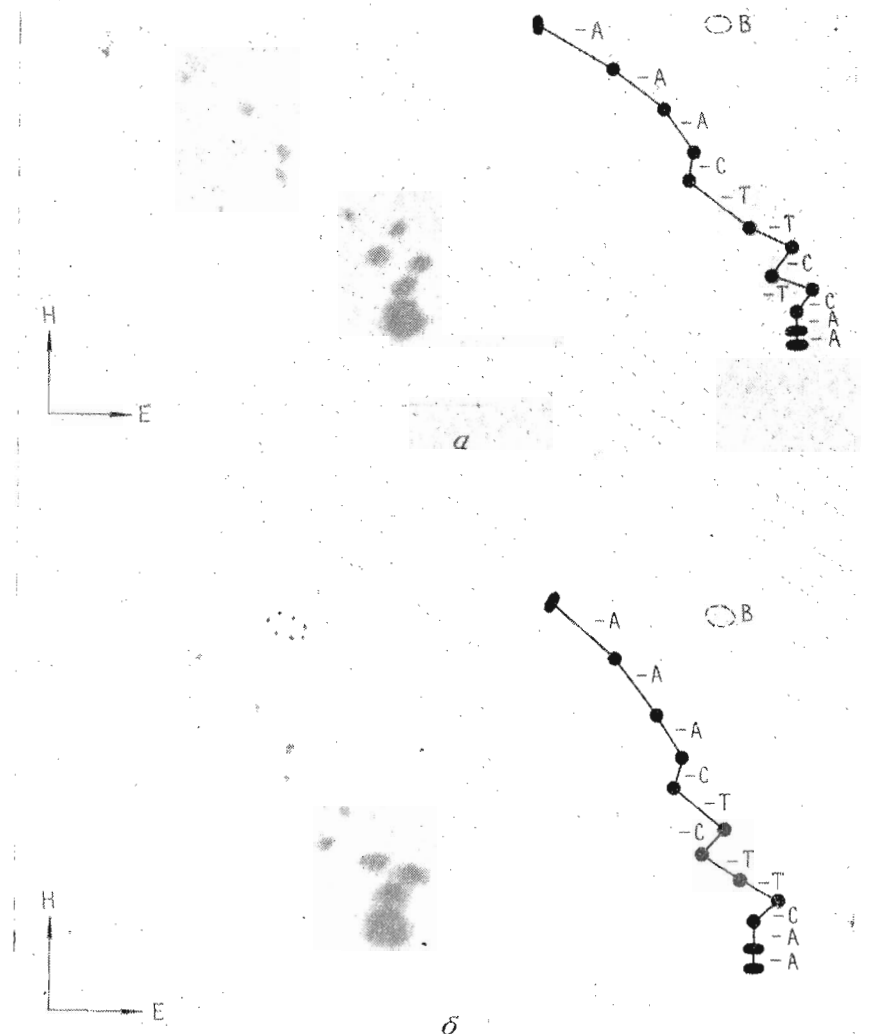


Рис. 4. Нуклеотидные карты додекануклеотидов (I) (*а*) и (II) (*б*). Е — электрофорез на ацетилцеллюлозе, Н — гомохроматография, В — положение красителя бромфенолового синего

Таблица 1

| Соединение | $\lambda_{\text{макс.}}$ нм | $\lambda_{\text{мин.}}$ нм | $R_{\rho T}$ в системах | | | | | | Нуклеотидный состав | | | | | | | |
|-----------------------------------|--------------------------------|-------------------------------|---------------------------------------|---------------------------------------|---------------------------------------|---------------------------------------|---------------------------------------|---------------------------------------|---------------------|---------|-----|-----|-------|------|------|-----|
| | | | $\varepsilon_{260}/\varepsilon_{280}$ | $\varepsilon_{260}/\varepsilon_{290}$ | $\varepsilon_{260}/\varepsilon_{300}$ | $\varepsilon_{260}/\varepsilon_{280}$ | $\varepsilon_{260}/\varepsilon_{290}$ | $\varepsilon_{260}/\varepsilon_{300}$ | Δ | β | B | C | D_A | pC | pT | гра |
| (MeOTr) anC-bzA (III) | 285 | 256 | 1,02 | 1,15 | 1,50 | 1,55 | 1,28 | | | | | | | | | |
| C-A | 263 | 236 | 0,83 | 0,91 | 0,33 | 0,23 | | | | | | | | | | |
| (MeOTr) anC-bzA-bzA (IV) | 283 | 251 | 1,17 | 1,53 | 1,49 | 1,49 | 1,12 | | | | | | | | | |
| C-A-A | 261 | 232 | 0,80 | 0,80 | 0,33 | 0,40 | | | | | | | | | | |
| (MeOTr) anC-bzA-bzA-bzA (V) | 283 | 250 | 0,97 | 1,15 | 1,54 | 1,47 | 1,07 | | | | | | | | | |
| C-A-A-A | 261 | 235 | 0,82 | 0,90 | 0,36 | 0,24 | | | | | | | | | | |
| panC-T | 271,303 | 239 | 1,19 | 0,78 | 1,20 | 1,25 | 1,20 | | | | | | | | | |
| pC-T | 270 | 244 | 0,80 | 1,18 | 0,92 | 0,40 | | | | | | | | | | |
| (MeOTr) anC-bzA-bzA-anC-T (VI) | 284 | 247 | 0,91 | 1,18 | 1,45 | 1,35 | 1,05 | | | | | | | | | |
| C-A-A-A-C-T * | 262 | 238 | 0,80 | 0,92 | 0,58 | 0,49 | | | | | | | | | | |
| pT-anC | 275,303 | 239 | 1,12 | 0,76 | 1,20 | 1,19 | 1,11 | | | | | | | | | |
| pT-C | 270 | 242 | 0,76 | 1,18 | 0,92 | 0,35 | | | | | | | | | | |
| (MeOTr) anC-bzA-bzA-anC-T-T-anC | 283 | 247 | 0,89 | 1,17 | 1,40 | 1,31 | 1,05 | | | | | | | | | |
| (VII) | 262 | 239 | 0,82 | 0,94 | 0,60 | 0,22 | | | | | | | | | | |
| C-A-A-A-C-T-T-C * | 282 | 247 | 0,89 | 1,15 | 1,39 | 1,28 | 1,03 | | | | | | | | | |
| (MeOTr) anC-bzA-bzA-anC-T-anC-T | (VIII) | 262 | 239 | 0,83 | 0,94 | 0,60 | 0,23 | | | | | | | | | |
| C-A-A-C-T-C-T-C * | 281 | 247 | 0,92 | 1,17 | 1,59 | 1,38 | 0,77 | | | | | | | | | |
| bzA-rbzA | 259 | 238 | 0,83 | 0,76 | 0,47 | 0,14 | | | | | | | | | | |
| pA-rrA | 282 | 249 | 0,86 | 1,16 | 1,40 | 1,26 | 0,91 | | | | | | | | | |
| pT-anC-bzA-rbzA (IX) | 262 | 236 | 0,78 | 0,90 | 0,59 | 0,21 | | | | | | | | | | |
| pT-C-A-rrA | 282 | 249 | 0,90 | 1,16 | 1,37 | 1,27 | 0,99 | | | | | | | | | |
| (MeOTr) anC-bzA-bzA-anC-T-T-anC-T | | | | | | | | | | | | | | | | |
| anC-bzA-rbzA (X) | | | | | | | | | | | | | | | | |
| C-A-A-C-T-T-C-T-C-A-rrA (I) * | 263 | 235 | 0,80 | 0,93 | 0,59 | 0,20 | | | | | | | | | | |
| (MeOTr) anC-bzA-bzA-anC-T-anC-T-T | | | | | | | | | | | | | | | | |
| anC-bzA-rbzA (XI) | 282 | 249 | 0,89 | 1,45 | 1,37 | 1,26 | 0,97 | | | | | | | | | |
| C-A-A-A-C-T-C-T-C-A-rrA (II) * | 262 | 236 | 0,80 | 0,94 | 0,59 | 0,21 | | | | | | | | | | |

* Состав определен на основании нуклеотидной карты данного олигонуклеотида.

Таблица 2

Гибридизация додекануклеотидов (I) и (II) с 16S- и 23S-рРНК *E. coli*

| № | 5'- ³² P-меченный олигонуклеотид, пмоль | рРНК, пмоль * | Молярное соотношение олигонуклеотид — рРНК | Радиоактивность высокомолекулярной фракции, имп/мин ** | Связывание олигонуклеотида с рРНК, % |
|----|--|---------------|--|--|--------------------------------------|
| 1 | (p-I), 36 | 16S (6) | 6 | 520 | 3 |
| 2 | (p-I), 400 | 16S (8) | 50 | 9340 | 26 |
| 3 | (p-I), 80 | 16S (8) | 10 | 1550 | 13 |
| 4 | (p-I), 200 | 16S (4) | 50 | 11810 | 64 |
| 5 | (p-I), 800 | 16S (8) | 100 | 9130 | 76 |
| 6 | (p-I), 400 | 16S (1,8) | 222 | 4500 | 87 |
| 7 | (p-I), 400 | 23S (8) | 50 | 840 | 2 |
| 8 | (p-II), 400 | 16S (8) | 50 | 2820 | 20 |
| 9 | (p-II), 200 | 16S (4) | 50 | 4850 | 67 |
| 10 | (p-II), 400 | 23S (8) | 50 | 470 | 3 |
| 11 | (p-II), 200 | 23S (4) | 50 | 820 | 7 |

* Рассчитано исходя из величин ϵ_{260} 1,65·10⁷ для 16S- и 2,53·10⁷ для 23S-рРНК при pH 7. В опытах 3 — 6, 9 и 11 инкубационная смесь содержала 0,5 М NaCl.

** Удельная радиоактивность исходного [³²P] (p-I) составляла 1500 (оп. 3 и 5), 3140 (оп. 1 и 6) и 4590 (оп. 2, 4 и 6) имп/мин·пмоль, а [³²P] (p-II) — 1800 (оп. 8 — 10) и 3000 (оп. 11) имп/мин·пмоль.

дов (рис. 1) (ср. [7]). Додекануклеотиды (X) и (XI), представляющие собой конечные продукты синтеза, были полностью деблокированы, и незащищенные олигонуклеотиды (I) и (II) очищены анионообменной хроматографией в градиенте концентрации хлористого натрия в 7 М мочевине сначала при pH 7,5, а затем при pH 3,5 (рис. 2). Индивидуальность этих соединений была доказана микроколоночной хроматографией в аналогичных условиях (рис. 3). Дополнительное доказательство индивидуальности, а также подтверждение первичных структур (I) и (II) были получены с помощью ферментативного 5'-³²P-фосфорилирования этих соединений и последующего частичного гидролиза фосфодиэsterазой змеиного яда; смеси продуктов гидролиза разделяли электрофорезом на ацетилцеллюлозе и гомохроматографией во взаимно перпендикулярных направлениях и полученные нуклеотидные карты (рис. 4) интерпретировали согласно работе [8]. Свойства синтезированных олигонуклеотидов приведены в табл. 1.

Была изучена способность додекануклеотидов (I) и (II) гибридизоваться с 16 S-рРНК *E. coli*. Для этого смесь рРНК и 5'-³²P-меченого олигонуклеотида подвергали отжигу и образовавшийся комплекс выделяли гель-фильтрацией на сепадексе G-100, определяя степень связывания по количеству радиоактивности в высокомолекулярной фракции (см. табл. 2, рис. 5). Отжиг при 65° даже при больших молярных избытках олигонуклеотида относительно рРНК приводил к низкой величине гибридизации (~5%), что может быть связано с наличием на 5'-конце 16 S-рРНК спиральной структуры [3]. Лучшие результаты были получены при температуре отжига 85°, при которой заканчивается разрушение вторичной структуры 16S-рРНК, и высокой ионной силе (ср. [9]). Заметных различий между додекануклеотидами (I) и (II) в степени комплексообразования с 16S-рРНК обнаружено не было. Оба олигонуклеотида в этих условиях практически не связывались с 23S-рРНК, что свидетельствует о структурной специфичности комплексообразования.

Олигонуклеотиды (I) и (II) могут быть использованы для структурно-аналитического исследования оперонов рРНК *E. coli* в качестве праймеров в системе ДНК-зависимого синтеза одноцепочечной ДНК, катализируемого ДНК-полимеразой I или A (см., например, [10]), или же в качестве носителей реагентов, избирательно модифицирующих соответствующие участки генома или транскриптов; наличие рибо-звена на 3'-конце

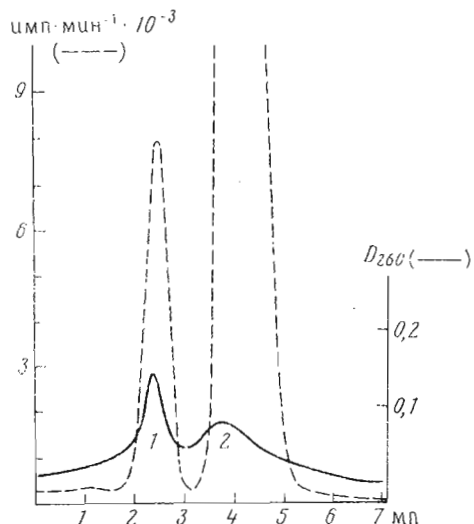


Рис. 5. Выделение комплекса додекануклеотида $[^{32}\text{P}](\text{p-I})$ с 16S-рРНК гель-фильтрацией на сефадексе G-100 при 4° в ТМЕ-буфере, содержащем 0,5 М NaOH. Реакционная смесь содержала 0,26 ОЕ₂₆₀ 16S-рРНК, 0,11 ОЕ₂₆₀ $[^{32}\text{P}]$ - (p-I) ($1,2 \cdot 10^6$ имп/мин, молярное отношение олигонуклеотид — рРНК = 50) и 25 мкмоль NaCl в ТМЕ-буфере. Пик 1 — $[^{32}\text{P}](\text{p-I})$ (14700 имп/мин), связанный с 16S-рРНК (комплексообразование 61 %), пик 2 — избыточный $[^{32}\text{P}](\text{p-I})$

олигонуклеотида позволяет легко отщепить праймер после элонгации от вновь синтезированного фрагмента (щелочным или РНКазным гидролизом) или же ввести по этому звену нужный модифицирующий реагент.

Экспериментальная часть

В работе использовали дезоксирибонуклеотиды (рТ, panC и pbzA) производства НИОХ СО АН СССР (Новосибирск), предварительно очищенные с помощью анионообменной хроматографии на DEAE-сефадексе A-25 (HCO_3^-). (MeOTr)anC синтезировали из нуклеозида [11], а rpbzA — из рибоадениловой кислоты [12]. Для введения CNEt- и Ac-групп пользовались методиками, приведенными в работе [11]. TPS (Merck) непосредственно перед использованием перекристаллизовывали из пентана. Общие условия эксперимента приведены в работе [13]. БХ проводили на бумаге FN-17 в системах: (А) этанол — 1М ацетат аммония (рН 7,5), 7 : 3; (Б) *n*-пропанол — 25 % водный NH_3 — вода, 55 : 10 : 35; ТСХ — на пластинках с силикагелем (Eastman Kodak) в системе (В) ацетонитрил — вода, 8 : 2. Суммарную рРНК выделили из фракции рибосом *E. coli* MRE-600 по методу [14] с фенолом и додецилсульфатом натрия и разделили на индивидуальные 5S-, 16S- и 23S-рРНК хроматографией на кизельтуре, покрытом метилированным альбумином [15].

1. (*MeOTr*)anC-bzA (III). Смесь 4,31 г (6 ммоль) (*MeOTr*)anC и 6,13 г (11 ммоль) pbzA(Ac) высушали пятикратным упариванием с пиридином, прибавили 6,8 г (22,5 ммоль) TPS, раствор сконцентрировали до объема 40 мл и выдержали 5 ч при 20° . Смесь охладили, обработали 45 мл 1 М раствора динизопропилэтиламина в пиридине, 90 мл воды (16 ч, 4°) и упарили с пиридином. Остаток растворили в 250 мл 0,2 М TEAB, проэкстрагировали эфиром (5×250 мл) для удаления сульфокислоты и непрореагировавшего нуклеозида, смесью эфир — этилацетат, 1 : 1 (250 мл), для извлечения оставшегося нуклеозида, после чего продукт конденсации извлекли смесью этилацетат — *n*-бутанол, 19 : 1 (4×250 мл) и 9 : 1 (250 мл), контролируя ход экстракции с помощью ТСХ в системе ацетонитрил — вода, 9 : 1. Объединенный экстракт упарили с пиридином, растворили в смеси пиридин — этанол (1 : 1) и гидролизовали равным объемом 2н. NaOH (10 мин, 0°). Раствор нейтрализовали дауэксом-50 (РуН⁺) и высушали упариванием с пиридином. После осаждения эфиром из пиридина получили 4,95 г (68 %) динуклеотида (III).

2. (*MeOTr*)anC-bzA-bzA (IV) получен взаимодействием 4,95 г (4,1 ммоль) динуклеотида (III), 3,86 г (6,9 ммоль) pbzA (Ac) и 5,85 г (19,3 ммоль)

TPS в 32 мл пиридина (6 ч, 20°). Реакционную смесь обработали, как в опыте 1, исходный динуклеотид (III) извлекли смесью этилацетат — *n*-бутанол, 19 : 1 (4×250 мл) (возврат 10%), а продукт конденсации — смесью этилацетат — *n*-бутанол, 9 : 1 (4×250 мл) и 4 : 1 (250 мл). После щелочного гидролиза в условиях опыта 1 и осаждения получили 4,23 г (60%) тринуклеотида (IV).

3. (*MeOTr*)*anC-bzA-bzA-bzA* (V). A. Получен взаимодействием 4,24 г (2,5 ммоль) соединения (IV), 2,84 г (5,2 ммоль) pbzA(Ac) и 6,05 г (20 ммоль) TPS в 27 мл пиридина (6 ч, 20°). После обработки реакционной смеси, как в опыте 1, исходный тринуклеотид (IV) выделили экстракцией смесью этилацетат — *n*-бутанол, 9 : 1 (7×250 мл) (возврат 35%), а продукт конденсации извлекли смесью этилацетат — *n*-бутанол, 7 : 3 (5×250 мл). После щелочного гидролиза и нейтрализации тетрануклеотид (V) хроматографировали на колонке с DEAE-целлюлозой (HCO_3^- , 2,5 × 50 см) в линейном градиенте концентрации TEAB в 50% спирте (0,05—0,30 М, 4 л), собирая фракции по 31 мл/10 мин. Из фракций 59—84 выделили 58 400 OE₂₈₀ (33%) тетрануклеотида (V).

B. Смесь 2,5 г (3,5 ммоль) (*MeOTr*)*anC*, 5,33 г (10,4 ммоль) pbzA, 1,0 г (1,8 ммоль) pbzA(Ac) и 7,93 г (26,2 ммоль) TPS в 40 мл пиридина выдержали 6,5 ч при 20°. Реакционную смесь обработали, как в опыте 1, и тритилясодержащие соединения извлекли смесью этилацетат — *n*-бутанол, 3 : 2 (2 × 250 мл). Экстракт упарили, гидролизовали щелочью в условиях опыта 1 и хроматографировали на колонке с DEAE-целлюлозой (HCO_3^- , 2,5 × 30 см) в градиенте концентрации TEAB в 50% спирте (0,05—0,25 М, 3 л), собирая фракции по 16 мл/5 мин. Из фракций 11—27 было выделено 34 800 OE₂₈₀ (28%) динуклеотида (III), из фракций 42—63—31 000 OE₂₈₀ (16%) тринуклеотида (IV), из фракций 75—95—12 600 OE₂₈₀ (5%) тетрануклеотида (V); фракции 96—120 содержали 12 000 OE₂₈₀ более высокомолекулярных продуктов. При хроматографии водного раствора, содержащего нетритилированные вещества, на колонке с DEAE-целлюлозой (HCO_3^- , 3,5 × 59 см) в градиенте концентрации TEAB в воде (0,04—0,35 М, 10 л; фракции по 36 мл/5 мин) были выделены pbzA (фракции 162—185, 15 700 OE₂₈₀, возврат 10%), pbzA-bzA (фракции 200—219, 4000 OE₂₈₀), pbzA-bzA-bzA (фракции 220—239, 7100 OE₂₈₀) и pbzA-bzA-bzA-bzA (фракции 240—262, 7200 OE₂₈₀).

4. (*MeOTr*)*anC-bzA-bzA-bzA-anC-T* (VI) получен взаимодействием 1,4 г (0,64 ммоль) тетрануклеотида (V), 1,81 г (2,1 ммоль) *ranC-T(Ac)* [16] и 3,4 г (11,2 ммоль) TPS в 11 мл пиридина (6 ч, 20°). Реакционную смесь обработали 23 мл 1 М раствора динизопропилэтиламина в пиридине и 35 мл воды (16 ч, 4°), прибавили 75 мл 2 н. NaOH, выдержали 10 мин при 0°, избыток щелочи нейтрализовали катионитом и элюаты упарили до минимального объема. Остаток растворили в 200 мл 0,05 М TEAB, нанесли на колонку с DEAE-сепадексом А-25 (HCO_3^- , 2,5 × 40 см) и хроматографировали в градиенте концентрации TEAB в воде (0,05—0,50 М, 2,6 л), а затем в 50% спирте (0,05—0,50 М, 4 л), собирая фракции по 35 мл/10 мин. Из фракций 165—180 выделили 25 900 OE₂₈₀ (43%) гексануклеотида (VI). Возврат динуклеотида *ranC-T* 40%.

5. (*MeOTr*)*anC-bzA-bzA-bzA-anC-T-T-anC* (VII) получен взаимодействием 5400 OE₂₈₀ (0,057 ммоль) гексануклеотида (VI), 5800 OE₂₈₀ (0,25 ммоль) pT-*anC(Ac)* [16] и 0,37 г (1,2 ммоль) TPS в 3 мл пиридина в условиях опыта 4. После хроматографии на колонке с DEAE-целлюлозой (HCO_3^- , 2 × 20 см) в градиенте концентрации TEAB в воде (0,05—0,40 М, 1,8 л), а затем в 50% спирте (0,05—0,40 М, 3 л) из фракций 235—265 (по 17 мл/10 мин) выделили 3450 OE₂₈₀ (51%) октануклеотида (VII). Возврат динуклеотида pT-*anC* 68%, гексануклеотида (VI) — 11%.

6. (*MeOTr*)*anC-bzA-bzA-bzA-anC-T-anC-T* (VIII) получен взаимодействием 5400 OE₂₈₀ (0,057 ммоль) гексануклеотида (VI), 5300 OE₂₈₀ (0,23 ммоль) *ranC-T(Ac)* и 0,35 г (1,15 ммоль) TPS в 2 мл пиридина в условиях

опыта 4. После хроматографии на колонке с DEAE-целлюлозой (HCO_3^- , 2×40 см) в градиенте концентрации TEAB в воде (0,05—0,40 М, 2 л), а затем в 50% спирте (0,05—0,40 М, 2,2 л) из фракций 167—177 (по 22 мл/10 мин) выделили 3960 ОЕ₂₈₀ (58%) октануклеотида (VIII). Возврат динуклеотида ranC-T 69%, гексануклеотида (VI) — 12%.

7. *pbzA-rbzA*. Раствор 0,67 г (1,19 ммоль) (CNEt) pbzA, 0,45 г (0,78 ммоль) rpbzA(Ac)₂ и 1,0 г (3,33 ммоль) TPS в 5 мл пиридина выдержали 6 ч при 20°, затем при —20° обработали 10 мл 50% водного пиридина, выдержали 16 ч при 4° и гидролизовали 16 мл 2 н. NaOH (15 мин, 20°). После нейтрализации и упаривания смесь хроматографировали на колонке с DEAE-целлюлозой (HCO_3^- , 2×40 см) в линейном градиенте концентрации TEAB в воде (0,05—0,30 М, 3 л), собирая фракции по 24 мл/12 мин. Из фракций 39—64 выделили 17 460 ОЕ₂₈₀ (60%) динуклеотида pbzA-rbzA. Возврат pbzA 30%.

8. *pT-anC-bzA-rbzA* (IX) получен взаимодействием 0,49 г (0,5 ммоль) (CNEt)pT-anC, 0,62 г (0,58 ммоль) pbzA-rbzA(Ac)₂ и 1,0 г (3,33 ммоль) TPS в 6 мл пиридина, как описано в опыте 7. После хроматографии на колонке с DEAE-целлюлозой (HCO_3^- , 2×50 см) в градиенте концентрации TEAB в воде (0,05—0,45 М, 3,4 л) из фракций 64—73 (по 30 мл/12 мин) выделили 8400 ОЕ₂₈₀ (28%) тетрануклеотида (IX). Возврат динуклеотидов pbzA-rbzA 62%, pT-anC — 27%.

9. *(MeOTr)anC-bzA-bzA-bzA-anC-T-T-anC-T-anC-bzA-rbzA* (X) получен взаимодействием 400 ОЕ₂₈₀ (3,4 мкмоль) октануклеотида (VII), 800 ОЕ₂₈₀ (13,4 мкмоль) pT-anC-bzA-rbzA(Ac)₂ и 65 мг (215 мкмоль) TPS в 0,3 мл пиридина в условиях опыта 4. Условия и кривые хроматографического разделения приведены на рис. 1а. Выход соединения (X) 226 ОЕ₂₈₀ (37%), возврат октануклеотида (VII) 33%, тетрануклеотида (IX) — 80%.

10. *(MeOTr)anC-bzA-bzA-bzA-anC-T-T-anC-bzA-rbzA* (XI) получен взаимодействием 400 ОЕ₂₈₀ (3,4 мкмоль) октануклеотида (VIII), 800 ОЕ₂₈₀ (13,4 мкмоль) pT-anC-bzA-rbzA(Ac)₂ и 65 мг (215 мкмоль) TPS в 0,3 мл пиридина в условиях опыта 4. Условия и кривые хроматографического разделения приведены на рис. 1б. Выход додекануклеотида (XI) 196 ОЕ₂₈₀ (32%); возврат октануклеотида (VIII) 30%, тетрануклеотида (IX) — 78%.

11. *C-A-A-A-C-T-T-C-T-C-A-rA* (I). 46 ОЕ₂₈₀ додекануклеотида (X) обработали 5 мл 25% водного NH_3 (3 ч, 50°) и далее, после упаривания, смесью уксусная кислота — вода — пиридин, 14 : 3 : 1 (48 ч, 20°). Уксусную кислоту удалили многократным упариванием с водой и остаток дважды хроматографировали на колонке с DEAE-целлюлозой (Cl^- , $0,4 \times 12$ см) в линейном градиенте концентрации NaCl в 7 М мочевине сначала при pH 7,5 (рис. 2а), а затем при pH 3,5 (рис. 2б). Выход незащищенного додекануклеотида (I) 11,8 ОЕ₂₆₀. Результаты микроколоночной хроматографии при pH 7,5 и 3,5 приведены на рис. 3а.

12. *C-A-A-A-C-T-T-C-T-C-A-rA* (II) получен из 36 ОЕ₂₈₀ додекануклеотида (XI), как описано в опыте 11 (см. рис. 2в и 2г). Выход продукта (II) 10,3 ОЕ₂₆₀. Аналитические характеристики приведены на рис. 3б.

13. ³²P-фосфорилирование и получение нуклеотидных карт олигонуклеотидов. 1 нмоль олигонуклеотида инкубировали 1,5 ч при 37° с 2 нмоль [γ -³²P]ATP (10—15 Ки/ммоль, Amersham) и 10 мкл T4-полинуклеотидкиназы (КФ 2.7.1.78) (фракция VI [17]) в 40 мкл буфера, содержащего 50 mM три- HCl (pH 7,5), 10 mM MgCl₂ и 5 mM меркаптоэтанол. Меченные олигонуклеотиды выделяли гель-фильтрацией на колонке с сепадексом G-50 ($0,75 \times 15$ см), собирая фракции по 0,3 мл/5 мин, и упаривали досуха. Нуклеотидные карты были получены, как описано ранее [13] (см. рис. 4).

14. Гибридизация додекануклеотидов (I) и (II) с 16S- и 23S-pPHK. Компоненты в TME-буфере (40 mM три- HCl , pH 7,5; 10 mM MgCl₂; 1 mM

EDTA-Na₂) (общий объем смеси 50 мкл; см. табл. 2) нагревали 10 мин при 85°, затем в течение 3 ч охлаждали до 20°, выдерживали 20 ч при 4° и при этой температуре подвергали гель-фильтрации на колонке с сепадексом G-100 (0,75 × 21 см) в ТМЕ-буфере, собирая фракции по 0,3—0,5 мл/10 мин и измеряя их радиоактивность в толуольном сцинтилляторе (см., например, рис. 5). Связывание додекануклеотидов с рРНК рассчитывали относительно теоретически возможного включения радиоактивности в высокомолекулярную фракцию, принимая соотношение олигонуклеотид — рРНК в комплексе за эквимолярное (см. табл. 2).

Авторы благодарны В. Г. Коробко, Е. Ф. Болдыревой и Е. А. Шульгиной за получение нуклеотидных карт ³²P-fosфорилированных олигонуклеотидов, А. В. Честухину за T4-полинуклеотидкиназу и М. К. Кухановой за препарат рибосом *E. coli* MRE 600.

ЛИТЕРАТУРА

1. Добрынин В. Н., Болдырева Е. Ф., Быстров Н. С., Северцова И. В., Чернов Б. К., Колсов М. Н. (1978) Биоорган. химия, 4, 523—534.
2. Jaskunas S. R., Nomura M. (1976) Trends Biochem. Sci., 1, 159—161.
3. Ehresmann C., Ebel J. P. (1975) Biochimie, 57, 711—748.
4. Kössel H., Seliger H. (1975) Progress in the Chemistry of Organic Natural Products, Vol. 32, pp. 297—560, Springer-Verlag, Wien — N. Y.
5. Agarwal K. L., Berlin Yu. A., Kleid D. G., Smirnov V. D., Khorana H. G. (1975) J. Biol. Chem., 250, 5563—5573.
6. Seliger H. (1975) Makromol. Chem., 176, 3127—3134.
7. Schott H., Kössel H. (1973) J. Amer. Chem. Soc., 95, 3778—3785.
8. Sanger F. (1973) in Virus Research, pp. 573—598, Acad. Press, N. Y.—London.
9. Hochkeppel H. K., Craven G. R. (1976) Nucl. Acids Res., 3, 1883—1902.
10. Sekiya T., Contreras R., Kupper H., Landy A., Khorana H. G. (1976) J. Biol. Chem., 251, 5124—5140.
11. Kumar A., Otsuka H., Khorana H. G. (1972) J. Mol. Biol., 72, 289—307.
12. Weimann G., Khorana H. G. (1962) J. Amer. Chem. Soc., 84, 419—430.
13. Берлин Ю. А., Ботарова Т. Н., Вульфсон А. Н., Колсов М. Н., Коробко В. Г. (1976) Биоорган. химия, 2, 762—772.
14. Riskov A. P., Tokarskaya O. V., Georgiev G. P., Coutell C., Berndt T. (1976) Nucl. Acids Res., 3, 1487—1498.
15. Осава С., Сибатани А. (1970) в сб. Методы исследования нуклеиновых кислот, с. 116—121, «Мир», М.
16. Weber H., Khorana H. G. (1972) J. Mol. Biol., 72, 219—233.
17. Jay E., Bambara R., Padmanabhan R., Wu R. (1974) Nucl. Acids Res., 1, 331—353.

Поступила в редакцию
10.IV.1978

SYNTHESIS OF OLIGO- AND POLYNUCLEOTIDES. XXI. THE CHEMICAL SYNTHESIS OF TWO DODECANUCLEOTIDES COMPLEMENTARY TO THE 5'-TERMINAL SEQUENCE OF 16S rRNA OF *E. COLI*

BERLIN YU. A., VINOGRADOV S. V., KOLOSOV M. N.
M. M. Shemyakin Institute of Bioorganic Chemistry,
Academy of Sciences of the USSR, Moscow

Dodecanucleotides d(C-A-A-A-C-T-T-C-T-C-A)-rA and d(C-A-A-A-C-T-C-T-C-A)-rA complementary to the 5'-terminal sequence 4-15 of *E. coli* 16S rRNA were chemically synthesized by the phosphodiester method, their structures being substantiated by the finger-printing technique. Both oligonucleotides form specific complexes with the rRNA and can be used as primers for sequencing the corresponding DNA.